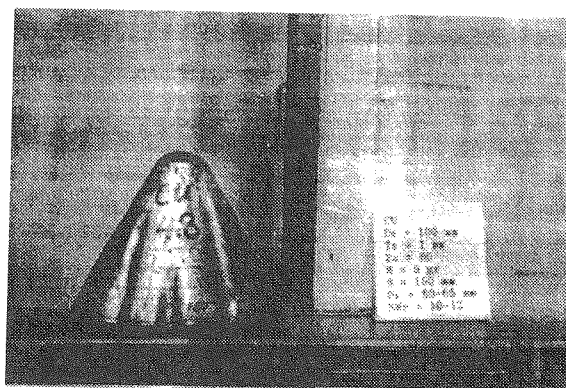
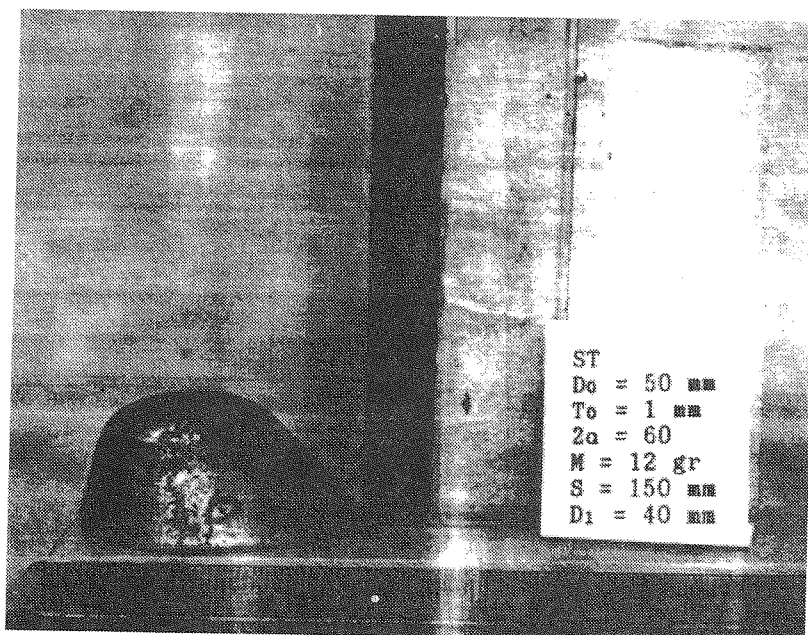


شکل (۲۰) گوش دار شدن نمونه فولادی ۶۰ درجه به ضخامت ۱ و قطر ۱۰۰ میلیمتر.



شکل (۱۹) چروگیدگی مخروط مسی ۶۰ درجه.



شکل (۲۱) کشش ناهمسان در نمونه فولادی به شعاع اولیه ۲۵ و ضخامت ۱ میلیمتر در قالب ۶۰ درجه.

مراجع

- [5] F.W. Travis and W. Johnson, The Explosive Forming of Cones, Proc. 3rd International Machine Tool Design Research Conference, Birmingham, PP. 341-364, 1962.
- [6] N. Cristescu, Dynamic Plasticity, PP. 328-331, 1967.
- [7] Kazem Kormi, Studies in The Deep Drawing of Using an Underwater Explosive Technique, Ph.D Thesis, May 1964.
- [8] 3rd. International Conference on Mechanical and Physical Behaviour of Materials Under Dynamic Loading (YMAT91), Strasbourg, France, 14-18 Oct. 1991.
- [9] لیاقت، غلامحسین، جواب ور، داریوش، شکل دهی مخروط های روش انفجاری، ششمین کنفرانس سالانه مهندسی مکانیک و سومین کنفرانس بین المللی مهندسی
- [1] لیاقت، غلامحسین، جواب ور، داریوش، ارائه مدل تغییر شکل پایدار ورق جهت تحلیل شکل دهی انفجاری، هفتمین کنفرانس سالانه مهندسی مکانیک انجمن مهندسان مکانیک ایران. دانشگاه سیستان و بلوچستان، دانشکده مهندسی شهید نیکبخت، ۱۳۷۸.
- [2] G.N. Nurick and J.B. Martin, Deformation of Thin Plates Subjected to Impulsive Loading a Review- Part I : Theoretical Considerations, Int. J. Impact Engng. Vol. 8, No.2, PP. 159-170, 1989.
- [3] G. E. Hudson, A Theory of the Dynamic Plastic Deformation of a Thin Diaphragm, Journal of Applied physics, Vol. 22, No. 1, PP. 1-11, Jan. 1951.
- [4] H.P. Tardif, Explosive Forming of Cones by Metal Gathering, Metal Progress, Vol. 76, No. 3, P. 84, Sep. 1959.

- آزمایش های تجربی شکل دهی انفجاری مخروط،
صنایع صنایع مهمات سازی، ۱۳۷۹-۷۹.
- [14] A.A. Ezra, Principles and Practice of Explosive Metalworking, PP. 44, 46, 88, 89, 1973.
- [۱۵] لیاقت، غلامحسین، جواب ور، داریوش، تحلیل پدیده چروکیدگی در شکل دهی انفجاری مخروط و مقایسه با نتایج تجربی، آماده چاپ.
- [16] Javabvar, Daryosh, Simulation of Explosive Forming of Cone, Using Finite Element Method (ABAQUS), Report of ph.D Research, University of UMIST, Department of Mechanical Engineering, 05/ 11/99.
- [17] W. Johnson, Impact Strength of Materials, P. 289, 1972.
- مکانیک انجمن مهندسان مکانیک ایران، دانشگاه علم و صنعت ایران. دانشکده مهندسی مکانیک، ص. ۱۵۱۴-۱۵۰۷، ۲۸-۳۰ اردیبهشت ۱۳۷۷.
- [۱۰] لیاقت، غلامحسین، جواب ور، داریوش، تحلیل تغییر شکل ناپایدار ورق فلزی دور راقلب مخروطی در هنگام شکل دهی انفجاری، هفتمین کنفرانس سالانه مهندسی مکانیکی انجمن مهندسان مکانیک ایران، دانشگاه سیستان و بلوچستان، دانشکده مهندسی شهرید نیکبخت، ۱۳۷۸.
- [11] ABAQUS, HIBBITT, KARLSSON & SORENSEN (UK) LTD.
- [۱۲] لیاقت، غلامحسین، جواب ور، داریوش، گزارش آزمایش های تجربی شکل دهی انفجاری مخروط، صنایع شهید باقری، ۱۳۷۶.
- [۱۳] لیاقت، غلامحسین، جواب ور، داریوش، گزارش

روشی جدید برای مدل سازی موتورهای تک فاز «قطب نگاشته» با توان بالا

مجتبی میرسلیم
دانشیار

حمید ضابط خصوصی
دانشجوی دکتری

دانشکده مهندسی برق، دانشگاه صنعتی امیرکبیر

چکیده

در این مقاله مدلی برای شبیه سازی موتورهای تک فاز «قطب نگاشته» با توان بالا ارائه می گردد. این مدل دینامیکی است و پایه تئوریک آن نظریه جامع ماشین های الکترونیکی می باشد. بر اساس این تئوری ابتدا معادلات حاکم بر رفتار این گونه موتورها بدست می آید و سپس با حل این معادلات در دستگاه مرجع ویژه ای که مناسب با خصوصیات منحصر به فرد موتورهای تک فاز «قطب نگاشته» با توان بالا باشد، تأثیر پارامترهای اساسی موتور در شرایط راه اندازی، تولید گشتاور مفید و کنترل دور نهابی ملاحظه می گردد. مقایسه نتایج شبیه سازی این مدل دینامیکی با نتایج بدست آمده از اندازه گیری، حاکی از دقیقیت خوب مدل ارائه شده می باشد.

کلمات کلیدی
موتور قطب نگاشته، مدل دینامیکی، راه اندازی نرم

Novel Method for Modeling High Power Single-Phase “Written-Pole” Motors

H. Z. Khosousi
Ph.D Student

M. Mirsalim
Associate Professor

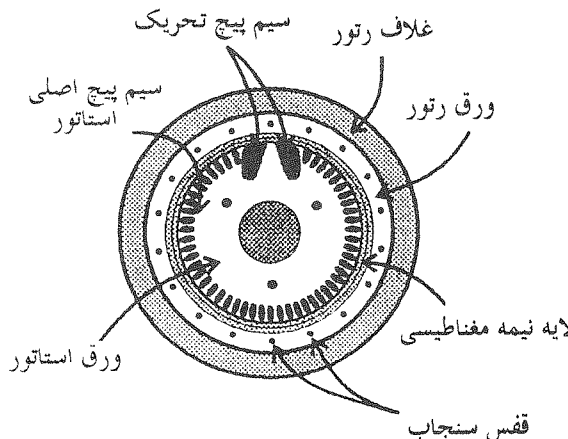
Electrical Engineering Department,
Amirkabir University of Technology

Abstract

This paper presents a dynamic model to simulate the high power single-phase “Written Pole” motors. The base of this modelling is the generalized theory of electrical machines. Based on this theory, first, the required equations governing the dynamic behavior of these motors are obtained. Next, the equations are solved in a special reference frame which is valid for the unique properties of single-phase Written Pole motors. Finally, the comparison of simulation modelling with the experimental results shows very good agreement.

Keywords

Written Pole Motor, Dynamic Model, Soft-Start Motor.



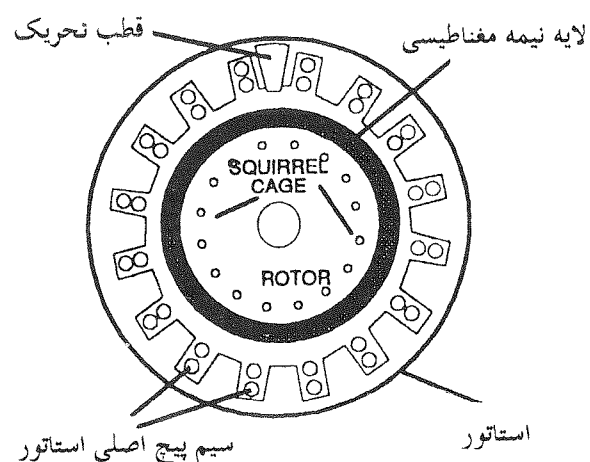
شکل (۲) موتور «قطب نگاشته» با رتور بیرونی.

همانند هر موتور القایی تک فاز، موتور تک فاز «قطب نگاشته» بدون کمک نمی‌تواند راه اندازی شود. این موتور برای راه افتادن از شیوه‌ای مشابه موتور باراه اندازی خارجی جهت فراهم آوردن گشتاور راه اندازی استفاده می‌کند. وقتی سرعت موتور به $80\text{--}80$ درصد سرعت سنکرون خود برسد سیم پیچ تحریک کننده اضافی روی استاتور توسط ولتاژ ± 5 شبکه، تحریک شده و شروع به نگاشتن قطب‌های موقت بر روی لایه «نیمه مغناطیسی» واقع بر روی رتور می‌نماید. در یک موتور القایی معمولی تعداد قطب‌های متاثر از قطب‌های سیم پیچی اصلی ثابت و عدد صحیحی می‌باشد. اما نگاشت قطب بر روی لایه نیمه مغناطیسی روتور باعث می‌شود که روتور به ازای هر دور از گردش، قابلیت تغییر دادن تعداد مؤثر قطب‌های خود را داشته باشد. بنابراین موتور ضمن اینکه مانند یک ماشین سنکرون عمل می‌نماید به ازای هر سرعت روتور می‌تواند دارای قطب‌های کسری متناسبی نیز گردد. قطب‌های نگاشته شده موقت امکان می‌دهند که موتور، گشتاور بالای یک ماشین سنکرون را بروز داده و به سرعت سنکرون برسد. با بالا رفتن سرعت، تعداد قطب‌ها کاهش یافته و موتور در سرعت سنکرون قفل می‌گردد.

تنها مدل ارائه شده برای ماشین‌های با نگاشت قطب مربوط به موتورهای سنکرون سه فاز استوار است. وجود سیم پیچ‌های متفاوت اصلی و راه انداز در استاتور موتورهای تک فاز قطب نگاشته و غیر یکسان بودن جریان این دو سیم پیچ باعث عدم تقارون و عدم تعادل شده و بنابراین مدل پیشنهادی موتورهای سنکرون سه فاز قطب نگاشته برای موتورهای تک فاز کاربرد نخواهد داشت. در این مقاله با در نظر گرفتن رفتار دو گانه موتورهای تک فاز قطب نگاشته، از شرایط راه اندازی تا حالت کار ماندگار با تکیه بر ساختار

موتورهای تک فاز «قطب نگاشته» که اخیراً توسط انسستیتو تحقیقاتی توان الکتریکی امریکا (EPRI) عرضه شده است بخلاف موتورهای القایی مرسوم، با داشتن جریان هجومی پایین، بازدهی بالا، ضریب توان واحد و در حد هارمونیک پایین، قابلیت‌های جدیدی برای مهندسین برق فراهم آورده است [۴-۱]. جریان راه اندازی موتورهای القایی تک فاز، بر حسب نوع طراحی در حدود هفت تا دوازده برابر جریان نامی می‌باشد و به همین دلیل این گونه موتورها با توانی کمتر از ۱۰٪ است بخار ساخته می‌شوند. شکل ویژه موتور سنکرون «قطب نگاشته» که ترکیبی از موتور القایی و موتور سنکرون است به آن مکان می‌دهد که حتی در صورت وجود بارهای سنگین و یا الختی بالا، با جریان راه اندازی پایین (حدود دو برابر جریان نامی) شروع به کار نمایند و هنگامیکه مستقیماً توسط ولتاژ خطر راه اندازی می‌شوند نیازی به تسهیلات اضافی مانند راه انداز تغییر دهنده فرکانس یا کاهنده ولتاژ نداشته باشند [۵].

شکل‌های (۱) و (۲) به ترتیب ساختار یک موتور «قطب نگاشته» با رتور درونی و بیرونی را نشان می‌دهند. استاتور که بخش ساکن ماشین را تشکیل می‌دهد ساختاری مشابه با موتورهای القایی معمولی دارد. با این تفاوت که یک سیم پیچ متمرکز اضافی دور یک قطب تحریک آن قرار گرفته که کار نگاشت قطب بر روی لایه نیمه مغناطیسی واقع بر روی رotor را نجام می‌دهد. در رotor این گونه موتورها، یک قفس سنجاب با مقاومت بالا به کار می‌رود. این مقاومت باعث می‌شود تا در طول راه اندازی که لغزش بالا است جریان راه اندازی در حد پایینی محدود شود.



شکل (۱) موتور «قطب نگاشته» با رتور درونی.

$$v_{qds} = r_s i_{qds} + p \lambda_{qds} \quad (1)$$

$$v_{qdr} = r_s i_{qdr} - \omega_r \lambda_{qdr} + p \lambda_{qdr} \quad (2)$$

که در آن

$$v_{qds} = K_{2s} v_{abs} \quad (3)$$

$$v_{qdr} = 0 \quad (4)$$

برای ماتریس انتقال K_{2s} داریم

$$K_{2s} = \begin{bmatrix} 1 & 0 \\ 0 & 1 \end{bmatrix} \quad (5)$$

اگر X راکتانس خازن در مرحله راه اندازی موتور باشد، آنگاه شکل گسترده روابط (۱) و (۲) برای موتورهای تک قطب نگاشته به صورت زیر خواهد بود:

$$v_{qs} = r_s i_{qs} + \frac{p}{\omega_b} \Psi_{qs} \quad (6)$$

$$v_{ds} = (r_s + r_c) i_{ds} + \frac{P}{\omega_b} \Psi_{ds} + \frac{\omega_b}{P} X_c \quad (7)$$

$$v_{qr} = r_r i_r - \frac{N_s}{N_s} \frac{\omega_r}{\omega_b} \Psi_{dr} + \frac{P}{\omega_b} \Psi_{qr} \quad (8)$$

$$v_{dr} = r_r i_{dr} + \frac{N_s}{N_s} \frac{\omega_r}{\omega_b} \Psi_{qr} + \frac{P}{\omega_b} \Psi_{dr} \quad (9)$$

که ω_b سرعت زاویه‌ای الکتریکی مورد استفاده در محاسبه راکتانس‌های سلفی و $\frac{d}{dt} = p$ است. در عین حال معادلات فوران دور بر ثانیه نیز به صورت زیر نوشته می‌شوند.

$$\Psi_{qs} = X_{ls} i_{qs} + X_{ms} (i_{qs} + i_{qr}) \quad (10)$$

$$\Psi_{ds} = X_{ls} i_{ds} + X_{ms} (i_{ds} + i_{dr}) + \Psi_m \quad (11)$$

$$\Psi_{qr} = X_{lr} i_{qr} + X_{ms} (i_{qs} + i_{qr}) \quad (12)$$

$$\Psi_{dr} = X_{lr} i_{dr} + X_{ms} (i_{ds} + i_{qr}) \quad (13)$$

در رابطه (۱۱)، Ψ_m فوران دور بر ثانیه ناشی از v_{ds}

نامتقارن و جریان‌های نامتعادل آن مدل دینامیکی مناسبی ارائه می‌گردد. با حل معادلات حاکم، اثر خازن و نقش قطب‌های موقع بر روی متغیرهای اساسی موتور مانند جریان، گشتاور و نیز نحوه کنترل سرعت نهایی آن مورد بررسی قرار می‌گیرد.

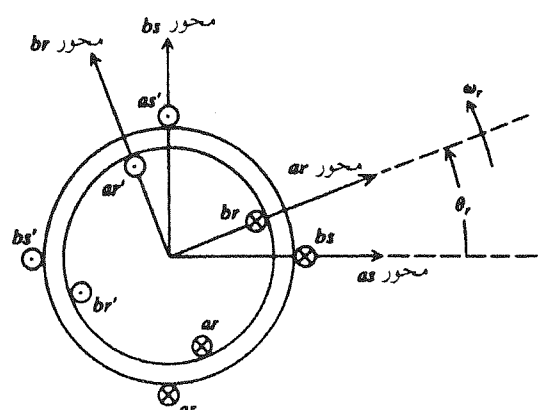
۳- تئوری مدل دینامیکی

برای تحلیل رفتار دینامیکی موتورهای تک قطب نگاشته نیاز به مدلی است که عملکرد ماشین را توصیف کند. از آنجاکه پارامترهای ماشین تابعی از سرعت رotor می‌باشند در این صورت ضرایب معادله‌های دیفرانسیلی بدست آمده متغیر با زمان خواهند بود مگر آنکه رotor در حالت سکون باشد. رفتار دوگانه این نوع موتورها قبل و بعد از نگاشت قطب لزوم انتخاب دو دستگاه مرجع متفاوت برای راه اندازی و بار کامل که بتواند با تبدیل متغیرهای ماشین از پیچیدگی این معادلات بکاهد را ایجاب می‌کند.

۱-۲- معادله‌های ولتاژ و گشتاور

الف- شرایط راه اندازی

شکل (۳) یک موتور تک قطب نگاشته با رotor درونی را به صورت ساده ترسیم نموده است. استاتور دارای سیم پیچی‌های متفاوت و با توزیع سینوسی در محورهایی عمود بر هم می‌باشد. فرض می‌شود تعداد دور مؤثر سیم پیچ as ، برابر با N_s و مقاومت آن r_s ، تعداد دور مؤثر سیم پیچ bs برابر با N_r و مقاومت آن r_r و رotor نیز گرچه به صورت قفس سنجابی است ولی دارای سیم پیچی‌های مشابه‌ای با N_r دور مؤثر و مقاومت r_r باشد. انتقال متغیرهای ماشین به دستگاه مرجع ساکن باعث می‌شود تا معادلات ولتاژ با پارامترهای ثابتی بیان شوند. معادلات ولتاژ بر حسب متغیرهای دستگاه مرجع ساکن به صورت زیر است [۸]:



شکل (۳) تصویر ساده شده موتور «قطب نگاشته».

$$\psi_m^r = \psi_m [1 + \beta \cos(\omega_b t)] \quad (20)$$

ضریبی است که بر حسب توان نامی موتور و سرعت نهایی مورد نظر از ۱۰ تا ۳۰ درصد متغیر است.
معادله گشتاور الکترومغناطیسی لحظه‌ای نیز به صورت زیر نوشته می‌شود.

$$T_e = \left[\frac{P}{2} \right] \left[\frac{N_s}{N_s} \right] \left[\frac{1}{\omega_b} \right] [i_{qs}^r \psi_{ds}^r - i_{ds}^r \psi_{qs}^r] \quad (21)$$

ارتباط گشتاور و سرعت رتور نیز طبق (۱۵) است.
ماتریس تبدیل K برای انتقال متغیرهای موتور از دستگاه مرجع ساکن به دستگاه مرجع رتور عبارت است از:

$$K^r = \begin{bmatrix} \cos \theta_r & -\sin \theta_r \\ \sin \theta_r & \cos \theta_r \end{bmatrix} \quad (22)$$

$$\theta_r = \int_0^t \omega_r (\xi) d\xi \quad (23)$$

۳- شبیه سازی

برای شبیه سازی از داده‌های یک موتور تک فاز «قطب نگاشته»، دو قطب، ۲۰ اسپ بخار، ۲۲۰ ولت، ۵۰ هرتز که پارامترهای آن بر حسب اهم به شرح زیر می‌باشد استفاده می‌گردد:

$$X_{ms} = 3.316 \quad r_r = 2.1 \quad r_s = 0.021$$

$$X_{mS} = 4.212 \quad X_{lr} = 0.048 \quad X_{ls} = 0.048$$

$$X_c = 4 \quad r_R = 2.367 \quad r_S = 0.043$$

$$X_d = 0.08 \quad X_{IR} = 0.048 \quad X_{IS} = 0.061$$

زنگ لختی کل $\frac{N_s}{N_s} = 1.127$ و $J = 0.511 \text{ kg.m}^2$ است.
تغییرات لحظه‌ای جریان در شکل (۴) نشان داده شده است.
در اینجا ملاحظه می‌شود که جریان راه اندازی از دو برابر جریان نامی موتور تجاوز نمی‌کند. شکل‌های (۵) و (۶) نشان می‌دهند، وقتی که قطب‌های موقت روی لایه نیمه مغناطیسی رotor نگاشته شوند گشتاوری معادل سه برابر گشتاور نامی، در موتور تولید می‌گردد. این گشتاور بالا باعث می‌شود که سرعت موتور افزایش یابد. شکل (۷) نشان می‌دهد که سرعت موتور پس از نوسانی حول سرعت

هیستویسز لایه نیمه مغناطیسی رotor می‌باشد که برای مدل کردن اثر این لایه به فوران دور ψ_m^r افزوده شده است. معادله گشتاور الکترومغناطیسی لحظه‌ای از رابطه زیر به دست می‌آید.

$$T_e = \left[\frac{P}{2} \right] \left[\frac{N_s}{N_s} \right] \left[\frac{X_{ms}}{\omega_b} \right] [i_{qs}^r i_{dr}^r - i_{ds}^r i_{qr}^r] \quad (14)$$

گشتاور و سرعت رotor نیز با رابطه زیر به هم مربوطند.

$$T_e = J \left[\frac{2}{P} \right] p \omega_r + T_l \quad (15)$$

ب- شرایط شتاب گیری

وقتی سرعت موتور به حدود ۶۰ درصد سرعت سنکرون خود بر سرده سیم پیچ تحریک توسط ولتاژ ac شبکه تحریکی می‌شود و قطب‌های موقت بر روی لایه نیمه مغناطیسی رotor نگاشته می‌شود. قطب‌های نگاشته شده موقت باعث می‌شوند تا موتور گشتاور بالای یک ماشین سنکرون را بروز داده و به سرعت سنکرون برسد. پس از آن سیم پیچ تحریکی خاموش می‌گردد و موتور مانند یک موتور سنکرون با رotor مغناطیس دائم به کار خود ادامه می‌دهد. در این شرایط دستگاه مرجع قبلی دیگر کارآیی نداشته و می‌باید دستگاه مرجع دیگری انتخاب گردد. با انتقال متغیرهای ماشین به دستگاه مرجع رotor، معادلات ولتاژ رامی توان به صورت زیر نوشته.

$$v_{qs}^r = r_s i_{qs}^r - \frac{N_s}{N_s} \frac{\omega_r}{\omega_b} \psi_{ds}^r + \frac{P}{\omega_b} \psi_{qs}^r \quad (16)$$

$$v_{ds}^r = r_s i_{ds}^r - \frac{N_s}{N_s} \frac{\omega_r}{\omega_b} \psi_{ds}^r + \frac{P}{\omega_b} \psi_{ds}^r + \frac{\omega_b}{P} X_d \quad (17)$$

که در آن X_d راکتانس خازن دائمی می‌باشد. بر اثر نگاشت قطب و سنکرون شدن موتور جریانی در میله‌های رotor القا نمی‌گردد. بنابراین برای معادلات فوران دور بر ثانیه خواهیم داشت:

$$\psi_{qs}^r = (X_{ls} + X_{ms}) i_{qs}^r \quad (18)$$

$$\psi_{ds}^r = (X_{ls} + X_{ms}) i_{ds}^r + \psi_m^r \quad (19)$$

برای ψ_m^r یعنی فوران دور ناشی از نگاشت قطب بر روی لایه نیمه مغناطیسی رotor می‌توان نوشت: